但病变位于结核好发部位上叶,以实变影为主,未见 卫星灶及未出现纵隔淋巴结增大,与免疫力低下艾滋 病合并肺结核的影像学表现不相符。

艾滋病患者通常免疫力低下,易合并多种机会性感染。虽然马红球菌感染为少见疾病,但当患者以发热、咳嗽、咳痰为主诉, $CD4^+T$ 淋巴细胞计数低于 50个/ μ L,肺部病变呈浸润实变、伴或不伴空洞时,需警惕马红球菌感染的可能,其诊断主要依靠生物标本的细菌培养、分离鉴定或病理检查。

参考文献

- [1] 李卿,刘龙梅,韩学斌,等. 黏液型马红球菌一例的鉴定及分析[J]. 中国药物与临床,2019,19(8):1353-1354.
- [2] 覃江龙,梁纲,吴念宁,等. 艾滋病合并马红球菌感染 11 例临床分析[J]. 中国热带医学,2019,19(6):574-577.
- [3] LIN W V, KRUSE R L, YANG K, et al. Diagnosis and management of pulmonary infection due to Rhodococcus

- equi[J]. Clin Microbiol Infect, 2019, 25(3): 310-315.
- [4] BUJOLD A R, LANI N R, SANZ M G. Strain-to-strain variation of Rhodococcus equi growth and biofilm formation in vitro[J]. BMC Res Notes, 2019, 12(1):519.
- [5] 覃江龙,吴念宁,梁纲,等.艾滋病合并马红球菌感染 1 例 并文献复习[J].中国热带医学,2018,18(9):968-972.
- [6] 周树林,赵月娟,汪习成,等.艾滋病合并马红球菌肺部感染影像学表现[J].中国医学影像学杂志,2012,20(9):646-648.
- [7] 黄德扬,刘晋新,丁岩,等.艾滋病合并马红球菌感染的影像表现[J].中国 CT 和 MRI 杂志,2015,13(10):40-42.
- [8] 韦菊临,梁桂录,刘军,等.艾滋病合并肺结核的影像学检查和特征[J].实用放射学杂志,2018,34(9):1351-1353.
- [9] 舒伟强,吕圣秀,李春华,等.艾滋病并发肺结核多层螺旋 CT 影像特点分析[J]. 临床肺科杂志,2019,24(10):1891-1895.

(收稿日期:2020-04-18 修回日期:2020-10-28)

・案例分析・ DOI: 10.3969/j. issn. 1672-9455. 2020. 23.049

甲状腺滤泡癌伴纵隔淋巴结、颈椎多发转移1例并文献复习*

王 松,张炳洲,刘艳红,陈 泳[△],敖亚洲 承德医学院附属医院甲状腺外科,河北承德 067000

关键词:甲状腺滤泡癌; 甲状腺腺瘤; 远处转移中图法分类号:R736.1 文献标志码:C

文章编号:1672-9455(2020)23-3544-04

甲状腺滤泡癌(FTC)与甲状腺乳头状癌(PTC)合称分化型甲状腺癌(DTC),但FTC较PTC临床少见,发病率仅为10%~15%[1]。FTC因其血供丰富,常可通过血行转移发生远处转移,多转移至骨和肺[2]。多数FTC病例病情的发展相对缓慢,一旦发生骨、肺等远处转移则此患者预后较差[3-4]。结合本院收治的伴远处转移的FTC病例资料对FTC的临床特点,治疗方式及预后进行讨论,以积累宝贵的治疗经验。

1 临床资料

患者,女性,62岁,主因"发现右颈部肿物 16年"人院。患者人院前因"颈部不适、双上肢麻木"就诊于本院脊柱外科,查颈椎 MRI 提示 C₆ 椎体压缩性改变,椎体向周围膨胀性改变,相应层面脊髓受压。C_{5~6} 椎间隙变窄。甲状腺明显增大,甲状腺恶性肿瘤不除外。患者又就诊于本科门诊,以"甲状腺肿物,颈椎转移"收入院。查体:气管左偏,右侧甲状腺Ⅲ度肿大,右叶甲状腺可触及约 10.0 cm×9.0 cm 肿物,质韧,边界清,表面光滑,无触痛,可随吞咽上下活动;右颈部Ⅱ、Ⅲ区可触及约 8.0 cm×3.0 cm 似融合淋巴结,左颈Ⅳ区可触及约 2.0 cm×2.0 cm 淋巴结,质

韧,边界不清,活动度差。左上肢、左下肢麻木,疼痛, 肌力Ⅳ级,肌张力正常。辅助检查:(1)超声显示,甲 状腺右叶正常腺体结构消失,内多发融合结节,大小 约 10.0 cm×5.0 cm×8.0 cm。左叶囊实性结节,最 大结节大小约 1.7 cm×1.2 cm×1.5 cm。双侧颈部 数个高回声结节,部分结节可见液化,淋巴门样结构 消失。提示右侧叶甲状腺结节,甲状腺影像报告和数 据系统(TI-RADS)5级。左侧叶甲状腺结节,TI-RADS 3 级。双侧颈部多发肿大淋巴结,考虑癌转移 (图 1)。(2)甲状腺、肺部 CT 平扫及强化:双侧甲状 腺肿物,双肺结节,颈部及上纵隔多发肿大淋巴结。 (3)颈椎 MRI: C。 椎体压缩性改变, 椎体向周围膨胀 性改变,相应层面脊髓受压。C5~6 椎间隙变窄(图 2)。(4)全颈椎 CT 三维重建:颈椎不稳,C。椎体改 变,相应水平椎管狭窄。(5)颈椎正侧过伸过屈位:颈 椎不稳,C。椎体骨质破坏。(6)肿瘤标志物:甲状腺球 蛋白(Tg)>500 ng/mL。喉镜未见明显异常。局部 麻醉下行超声引导下右叶甲状腺肿物穿刺活检,病理 回报:嗜酸性细胞腺瘤(图 3)。术前诊断:(1)甲状腺 肿物(双侧叶):癌待查;(2)双颈部淋巴结肿大:转移 癌待查;(3)C。椎体破坏:癌转移待查;(4)纵隔淋巴结

^{*} 基金项目:承德市科学技术研究与发展计划项目(201801A024)。

[△] 通信作者, E-mail: chenyong0838@sina.com。

肿大:癌转移待查。美国东部肿瘤协作组体力状况评 分:3分。结合目前检查肿瘤未侵及气管、食管颈部血 管等重要组织及器官。请脊柱外科专家会诊认为,目 前颈部椎体已遭到破坏,颈椎不稳,即使颈椎行手术 治疗,不能根治,可能会再次复发,严重造成四肢瘫 痪、呼吸困难等,甚至危及生命。向家属交代病情及 治疗方案,家属要求先行甲状腺手术,再行颈椎手术。 在全麻下行甲状腺全切除术+双侧颈部淋巴结清扫 术,术中可见右侧颈部Ⅱ、Ⅲ区肿大淋巴结,未侵及周 围组织及器官。术中冰冻回报:(双侧叶)结节性甲状 腺肿伴腺瘤。右颈Ⅳ区6枚淋巴结可见异形甲状腺 结构,2枚淋巴结脉管内癌栓。术后病理:(右叶及峡 部)FTC(图 4)。(左叶)结节性甲状腺肿伴腺瘤。免 疫组化:甲状腺转录因子1(+)、角蛋白19(+)、降钙 素(-)、Tg(+)嗜铬粒蛋白 A(-)、突触素(-)、细胞 增殖指数 Ki-67(5%)、B 淋巴细胞瘤-2(+)、细胞周期 蛋白(+)。



图 1 甲状腺彩超表现



图 2 术前颈部 MRI 表现

淋巴结病理显示,右颈 II A 区可见 2 枚淋巴结,其中 1 枚癌转移,另见 3 枚癌结节; II B 区可见 5 枚淋巴结均为未见癌转移; III 区未见淋巴结,见 3 枚癌结节; IV 区可见 3 枚淋巴结,其中 3 枚癌转移,见 4 枚癌结节; IV A 区仅见 1 枚癌转移淋巴结,另见 5 枚癌结节; IV B 区仅见 2 枚癌结节。左颈 II 区可见 2 枚淋巴结,均未见癌转移; III 区可见 1 枚淋巴结,未见癌转移; IV 区可见 5 枚淋巴结,其中 1 枚癌转移; IV 区可见 6 枚淋巴结,均未见癌转移。预后:尽管术中及术后给予颈托保护等措施,但是患者术后仍出现四肢瘫痪、大小便失禁等症状。复查颈椎 MRI 提示颈部椎体受压较术前明显。转入本院脊柱外科行手术治疗,因经

济原因术后拒绝行脊柱手术及 131 I治疗,仅口服左甲状腺素钠片的内分泌激素抑制治疗。术后 2 月复查颈椎 MRI: $C_{5\sim 6}$ 椎体及部分附件骨转移,继发 C_6 病理性骨折,椎管变窄; $C_{3\sim 6}$ 水平脊髓异常信号,较术前范围增大。

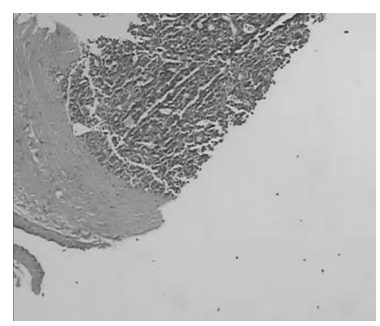


图 3 术前穿刺病理图片

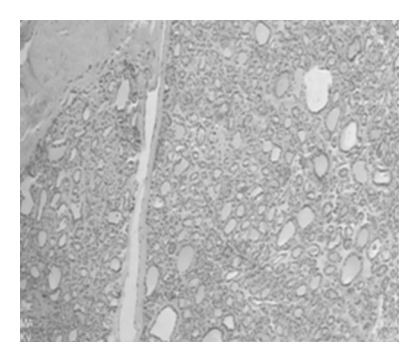


图 4 甲状腺术后病理图片

2 讨 论

近年来,甲状腺癌的发病率逐渐上升,成为最常 见的恶性肿瘤之一^[5]。FTC 是约占甲状腺癌发病率 的10%,以血运转移为主,易发生远处转移,其侵袭 性、转移率及病死率均高 PTC[6],好发于 50 岁以上女 性患者[1]。FTC常无明显临床症状,多因超声体检发 现单发结节就诊,或因伴远处转移出现相关临床症状 时就诊,较少出现双侧及隐匿病灶。术后远处转移率 为 7%~23%,转移部位以骨、肺、脑部等部位多见[1]。 有研究指出,10%~15%的病例可出现远处转移,最 常见的部位为肺及骨,其次为脑、肝及皮肤等[7]。本 例患者甲状腺肿物病史多年,因无明显憋气、吞咽困 难等症状未行任何治疗,出现颈部转移压迫脊髓引起 上肢麻木等症状后就诊于脊柱外科才发现颈部肿物 为甲状腺癌,导致错过了最佳治疗时机。所以一旦发 现甲状腺单发结节,不除外甲状腺腺瘤或腺癌时,一 定要引起足够重视,进行全面的查体及完善相关检 查, 当高度怀疑 FTC 时, 建议住院手术治疗, 病理确 诊,以免耽误病情出现远处转移。

甲状腺彩超是评估甲状腺肿物的最常用辅助检查。而FTC与甲状腺滤泡腺瘤(FA)在彩超征象上表现相似,经验不足的超声科医生容易误将FTC诊断为FA。但覃业志等^[8]认为FTC与FA在二维超声上的表现是有不同之处的,典型的FTC主要表现为边界不清、形态欠规则、无细晕(包括无晕和不规则晕)、内部回声不均匀、有钙化(主要存在粗大钙化)、

以实性为主的结节,而 FA 的常表现为边界清、形态规则、有细晕、无钙化、实性为主的结节。因此,超声在鉴别 FTC 与 FA 上具有一定的诊断价值。ZHANG等^[9]研究认为 FTC 常表现为晕环薄厚不均或晕环不完整,而细晕则多见 FA 中,可能是因为 FTC 包膜被肿瘤细胞浸润而引起反应性纤维增生所致。本病例中甲状腺彩超提示右侧正常结构也消失,可见多发低回声结节相互融合分界不清,回声不均匀,无细晕,符合 FTC 的超声表现,术后病理也证实为 FTC。

CT 及 MRI 等检查也是术前进行准确评估的重 要手段。研究报道一部分 FTC 患者可发生远处转 移,骨转移发生率为 7%~28%[10]。滤泡癌主要经血 行转移,一旦甲状腺原发病灶怀疑为 FTC 或以其他 器官为首发的怀疑 FTC 的患者要行全身骨显像、CT、 MRI 等相关检查进行全面评估。汪长银等[11]报道一 位老年女性患者,既往有甲状腺腺瘤病史,甲状腺肿 大,因左胸痛行甲状腺静态显像检查时发现甲状腺及 左胸部团状放射性聚集区,进一步行全身骨显像发现 胸椎、腰椎、髂骨、肋骨、股骨等广泛转移,术后病理回 报 FTC。苗忠莹等[12]报道了一例颅骨甲状腺癌转移 首发的患者,术中病理显示,双侧甲状腺结节性甲状 腺肿,(中央区)淋巴结可见癌转移。术后病理回报: 右侧 FTC, 左侧甲状腺乳头状微小癌, 中央区淋巴结 可见癌转移,考虑 FTC 来源。本例患者术前肺部 CT 提示纵隔多发肿大淋巴结,转移癌不除外。双肺结 节,转移癌不除外。颈椎正侧位片提示颈椎不稳。颈 椎 MRI 提示椎体及附件破坏,锥体压缩骨折。虽无 腰腿部疼痛,需行甲状腺全身骨显像,考虑患者家庭 经济状况未行全身骨现象检查。目前资料表明,患者 已出现多处远处转移,虽然预后较差,但是经过手术 等治疗,可控制病情的发展,延长患者的生命。

因 FTC 与 PTC 同属 DTC,但是目前对于 FTC 的治疗和预后并未得到统一的认识。BAN 等[13]认为 PTC 易通过血行转移,侵袭性较 PTC 强,主张限于一 侧腺叶内的 FTC 也应行甲状腺全切术。赵静等[14]认 为甲状腺全切术后并发症较大,喉返神经损伤及甲状 旁腺的损伤等会严重降低患者的生活质量,增加经济 负担,通过对84例FTC患者的术后随访后认为单侧 腺叶+峡部对于患者更有利。FTC 对131 I 的敏感性最 强,大部分的转移灶保留了摄碘功能,因此131 I治疗是 治疗 FTC 的残余原发灶及转移灶的有效手段。131 I治 疗的一般原则是先行甲状腺全或次全切除术,以增强 转移癌对碘的浓聚,然后行131 I治疗。WOODRUM 等[15]认为131 I 治疗是 DTC 综合治疗的手段之一,可 治疗复发或转移癌。单发远处转移灶时,可手术切除 转移灶辅以术后¹³¹I治疗的方法,可达到较好的治疗 效果[16-17]。若为多发性转移时,则应首选¹³¹ I治疗,可 以有效降低血清 Tg 水平,缓解疼痛并改善患者的生 活质量。LEE 等[18]认为出现骨转移患者的生存率明 显低于肺转移及淋巴结转移者,主要因为骨转移灶 对¹³¹ I 摄取差。赵昆等^[2]对 1 例 PET-CT 提示甲状腺

癌伴右颈深部、右锁骨上下及上纵隔多发淋巴结转 移,肝脏及门腔静脉间、脾脏多发异常结节(考虑转 移),脊牲、胸骨、髂骨及股骨等部位可见放射性浓聚 影(考虑弥漫性骨转移),骨髓穿刺病理查见癌细胞 (考虑来自甲状腺)不能耐受手术的患者术前给予131 I 治疗1次,肝功能明显恢复,成功实施了全甲状腺切 除术。认为术前尝试给予¹³¹I治疗可为一种新的辅助 治疗手段,可能控制原发灶和转移灶的发展,争取手 术机会,为术后系统的¹³¹I治疗创造条件。本例患者 因为患者出现颈椎转移,行甲状腺全切是必要的。考 虑患者已出现颈椎椎体多处转移、肺转移、纵隔淋巴 结转移等,尤其是颈椎转移、椎体骨折,颈椎不稳,术 后脊髓受压严重,出现四肢瘫痪等严重并发症。初步 决定治疗方案为与脊柱外科联合手术,即先行甲状腺 全切及颈部淋巴结清扫术,再行颈椎相关手术,术后 依据病理结果决定是否行131 I治疗。患者家属考虑手 术时间长、相关费用高,决定先行甲状腺手术治疗。 术后出现脊髓压迫症状加重,四肢瘫痪等。患者家属 放弃进一步治疗,自动出院回家。赵昆等[2]提出术前 先进行一次或多次131 I 治疗后甲状腺病灶、颈部淋巴 结及转移灶等可以变小,再进行手术可以减少围术期 风险,但是目前相关报道较少。FTC 骨转移好发于中 轴骨及四肢长,骨颈椎转移的病理性骨折及脊髓压迫 对于患者的预后更加不利。瘤体直径大于 4 cm 明显 影响患者的预后[19]。赵静等[14]对 105 例 FTC 进行 分析后认为 FTC 的复发和转移大多数发生于术后 5 年内,术后5年内应该密切随访,5年后应该定期复 查。对于已经发生远处转移尤其是骨转移的患者的 预后效果更差,本例患者术后2个月复查颈部转移虽 未见明显加重,但是长期随访来看,预后极差。

结合本病例及相关研究,对于伴远处转移的 FTC 术前完善相关检查,全面评估患者全身情况,应联合 多学科专家结合患者时机情况制订个体化治疗方案, 可减少术后并发症、提高生活质量、延长生存期。

参考文献

- [1] PARAMESWARAN R, HU J S, EN N M, et al. Patterns of metastasis in follicular thyroid carcinoma and the difference between early and delayed presentation[J]. Ann R Coll Surg Engl, 2017, 99(2):151-154.
- [2] 赵昆,程文元.甲状腺滤泡癌伴全身多发转移术前术后¹³¹I治疗1例[J].中国肿瘤临床,2006,33(14):840.
- [3] KALLEL F, HAMZA F, CHARFEDDINE S, et al. Clinical features of bone metastasis for differentiated thyroid carcinoma: a study of 21 patients from a Tunisian center [J]. Indian J Endocrinol Metab, 2014, 18(2): 185-190.
- [4] LOTE, CANTO AU, MANINGAT PD. Risk factors for recurrence in filipinos with well-differentiated thyroid cancer[J]. Endocrinol Metab (Seoul), 2015, 30(4):543-550.
- [5] 高明,郑向前.甲状腺癌过去与未来十年[J].中国肿瘤临床,2018,45(1):2-6.
- [6] DE MELO T G, ZANTUT-WITTMANN D E, FICHER

E,et al. Factors related to mortality in patients with papillary and follicular thyroid cancer in long-term follow-up[J]. J Endocrinol Invest, 2014, 37(12):1195-1200.

- [7] MCHENRY C R, PHITAYAKORN R. Follicular adenoma and carcinoma of the thyroid gland [J]. Oncologist, 2011,16(5):585-593.
- [8] 覃业志,黄伟俊,李凤,等.超声对甲状腺滤泡癌与滤泡腺瘤的鉴别诊断价值[J].中国临床医学影像杂志,2018,29 (8):590-592.
- [9] ZHANG J Z, HU B. Sonograpic features of thyroid follicular carcinoma in comparison with thyroid follicular adenoma[J]. J Ultrasound Med, 2014, 33(2):221-227.
- [10] DO M Y, RHEE Y, KIM D J, et al. Clinical features of bone metastases resulting from thyroid cancer; a review of 28 patients over a 20-year period[J]. Endocr J, 2005, 52(6):701-707.
- [11] 汪长银,沈美娟,沈颖. 95m Tc O_4 ⁻显像发现甲状腺滤泡性癌并全身多部位转移 1 例[J]. 中国临床医学影像杂志, 2011,22(12);908.
- [12] 苗忠莹,金关善,刘增光,等.以颅骨转移为首发症状的甲状腺滤泡癌一例[J].中华普通外科杂志,2016,31(12): 1059.
- [13] BAN E J, ANDRABI A, GRODSKI S, et al. Follicular
- ・案例分析・ DOI:10.3969/j.issn.1672-9455.2020.23.050

- thyroid cancer: minimally invasive tumours can give rise to metastases[J]. ANZ J Surg, 2012, 82(3):136-139.
- [14] 赵静,夏婷婷,贾永胜,等.甲状腺滤泡癌 105 例预后分析 [J].中华普通外科杂志,2011,26(12):977-980.
- [15] WOODRUM D T, GAUGER P G. Role of 1 311 in the treatment of well differentiated thyroid cancer[J]. J Surg Oncol, 2005, 89 (3):114-121.
- [16] XIONG Y X,ZHANG X. Observation on the effects of radioactive iodinetreatment in bone metastasis from differentiated thyroid cancer[J]. Jilin Med J,2008,51(11):904-906.
- [17] PASCHKE R, LINCKE T, MULLER S P, et al. The treatment of well-differentiated thyroid carcinoma [J]. Dtsch Arztebl Int, 2015, 112(26):452-458.
- [18] LEE J, SOH E Y. Differentiated thyroid carcinoma presenting with distant metastasis at initial diagnosis clinical outcomes and prognostic factors[J]. Ann Surg, 2010, 251 (1):114-119.
- [19] ITO Y, HIROKAWA M, MASUOKA H, et al. Distant metastasis at diagnosis and large tumor size are significant prognostic factors of widely invasive follicular thyroid carcinoma[J]. Endocr J, 2013, 60(6):829-833.

(收稿日期:2020-02-29 修回日期:2020-11-10)

脑膜炎型人猪链球菌感染合并败血症 1 例

田丽红¹,陈旭艳^{1 \triangle},董志高¹,黄金梅¹,苏俊男¹,苏艺津¹,黄连江² 厦门医学院附属第二医院:1.血液风湿免疫科;2.检验科,福建厦门 361000

关键词:猪链球菌; 感染; 败血症

中图法分类号:R515

文献标志码:C

猪链球菌感染为人畜共患的急性传染病,属于少见病,传染源为病猪和带菌猪,主要传播途径为人接触病(死)猪,致病菌经破损皮肤或黏膜侵入人体,人类普遍对猪链球菌易感,引起人重症链球菌感染的主要是猪链球菌 II型[1]。人感染该菌后可表现为脑膜炎、败血症、感染性休克、心内膜炎和肺炎等多种形式。临床上在早期表现不典型时有被漏诊。本院曾收治1例脑膜炎型人猪链球菌感染合并败血症的患者,现报道如下,以加强大家对猪链球菌感染的认识,为今后猪链球菌感染诊疗提供参考。

1 临床资料

1.1 一般资料 患者,男性,48岁,以"发热伴腹泻 2 d"为主诉急诊人院。患者人院前 2 d 无明显诱因出现发热,未监测体温,有畏冷、寒战,伴有腹泻,为黄色稀水样便,一天 2~3次,具体量不详,伴持续性头痛,头痛程度不剧烈,有乏力、纳差,无耳鸣,无听力下降,无颈部疼痛,无明显恶心、呕吐,无咳嗽、咳痰,无尿频、尿急、尿痛,无关节痛等不适,遂就诊。人院查体显示:体温 37.3℃、脉搏 85次/分、呼吸 20次/分、血压

文章编号:1672-9455(2020)23-3547-03

100/63 mm Hg。神志清楚,精神烦躁,听力正常,双侧鼻唇沟对称,伸舌居中,四肢肌力、肌张力正常,痛觉无异常,双侧巴宾斯基征未引出,克尼征阴性。心肺阴性,腹软,无压痛、反跳痛,肠鸣音极度活跃。全身皮肤黏膜未见瘀点、瘀斑,距肛门口 2 cm 处右侧可见一窦道,见少量脓性分泌物渗出。

- 1.2 流行病学史调查 患者为杀猪、卖猪肉的个体户,平素买卖猪肉过程未戴手套,经常有手部皮肤破损史。患者所在地偶有散在猪链球菌感染病例。
- 1.3 临床检查及诊疗过程 人院时临床检查显示,血常规(六分类):白细胞计数 13.40×10^{9} /L,中性粒细胞数 12.12×10^{9} /L,中性粒细胞比率 90.40%,血红蛋白 140.00 g/L,血小板 25.00×10^{9} /L;C 反应蛋白测定:321.41 mg/L;凝血筛查+血浆 D-二聚体测定:纤维蛋白原 6.72 g/L,D-二聚体 2.589.00 ng/mL,余正常;血降钙素原:71.368 ng/mL。肾功能:尿素氮(BUN) 17.7 mmol/L,肌酐 245 μ mol/L;鱼精蛋白副凝试验(3P) 阳性;纤维蛋白(原)降解产物 13.00 μ g/mL。肝功能、心肌酶、心电图检查结果均正常;胸

[△] 通信作者,E-mail:cxy196404@163.com。